

RADIAGÃO TÉRMICA

Matcus Mendonça Ramos Simões N° USP: 10818477

RESUMO: Usando o sensor do tipo termopilha foi possível estudar a Lei de Stefan-Boltzmann para as taxas e baixas temperaturas, a queda da irradiação com a queda da distância e a irradiação de um corpo extenso.

1- Introdução

Todo corpo a uma dada temperatura emite radiações intituladas radiações térmicas. Se tal corpo estiver mais quente que o meio cercante ele emite radiações até atingir o equilíbrio térmico, quando as taxas de emissão e absorção são iguais. [1]

A radiação incidente sobre um corpo aumenta a energia cinética de seus átomos constituintes. Como átomos possuem carga que são acelerados pelas oscilações, que de acordo com a teoria eletromagnética, deve emitir radiações, diminuindo sua energia cinética e, consequentemente, sua temperatura. Um bom absorvedor de radiações é também um bom emissor. [2]

Os estudos iniciais para entender a origem das radiações emitidas pelos corpos de matéria mostraram que algo estava faltando. Os primeiros estudos empíricos que levaram à lei de Stefan ($R_T = \sigma T^4$) e à lei do deslocamento de Wien ($\lambda_{\max} \propto T$) longaram a buscar tentativas mais profundas como a de Rayleigh-Jeans que chegaram à expressão $f(\nu) d\nu = \frac{8\pi kT}{c^3} \nu^2 d\nu$ mas que

que resultou no fenômeno da catástrofe do UV. Sómente com a introdução das quantizações de energias feitas por Planck levando à lei homônima dada pela expressão $E = h\nu/(e^{h\nu/kT} - 1)$. [1,3]

Este experimento teve por objetivo investigar o processo de emissão de radiações térmicas com análises quantitativas e qualitativas usando as leis empíricas.

2- Metodologia

Os materiais usados foram um sensor de radiação do tipo Termopilha TD-8553, um voltímetro acoplado ao sensor de radiação, um cubo de radiação térmica TD-8554A, um potenciômetro Variac, um termopar digital, um ventilador de resfriamento, uma lâmpada de Stefan-Boltzmann TD-8555, fonte de alimentação, um voltímetro e um amperímetro para a fonte, um trilho com escala milimétrada, uma régua de 50cm e um paquímetro. Este estudo foi feito em seis experimentos que estão descritos a seguir. Os valores de voltagem medida no sensor foram convertidos em resistâncias usando a expressão $R = V/DA$, com $D = 18,9 \pm 3,8 \text{ V/m}$ e $A = 4 \text{ mm}^2$ sendo a área do sensor.

2.1- Lei de Stefan-Boltzmann

Com o sensor posicionado próximo à lâmpada, foi verificada a Lei de Stefan-Boltzmann (LSB) para altas temperaturas. Inicialmente foi medida a temperatura ambiente e a

resistências das lâmpadas desligadas. Em seguida a intensidade das lâmpadas era variada e com os valores de corrente e voltagem era possível determinar sua resistência cujas temperaturas eram obtidas da interpolação dos dados da Tabela 2.1.

Tabela 2.1: Dependência da resistência com a temperatura do filamento de tungstênio.

R/R_{300K}	$T(K)$	R/R_{300K}	$T(K)$	R/R_{300K}	$T(K)$	R/R_{300K}	$T(K)$
1,0	300	5,48	1200	10,63	2100	16,29	3000
1,43	400	6,03	1300	11,24	2200	16,95	3100
1,87	500	6,58	1400	11,84	2300	17,62	3200
2,34	600	7,14	1500	12,46	2400	18,28	3300
2,85	700	7,71	1600	13,08	2500	18,97	3400
3,36	800	8,28	1700	13,72	2600	19,66	3500
3,88	900	8,86	1800	14,34	2700	26,35	3600
4,41	1000	9,44	1900	14,99	2800		
4,95	1100	10,03	2000	15,63	2900		

Finalmente, foi ajustado uma função da forma $R = \delta T^3$ para se verificar a constante de Boltzmann δ e a potenciação P .

2.2 - Lei do inverso do quadrado da distância

A posição do sensor era variada em relações à lâmpadas. Cobriu-se desde distâncias próximas da fonte, com passos de 1cm, até distâncias superiores a 100 cm variando o passo em 5cm. Os dados foram colocados em um gráfico e uma função da forma $R = A/T^3$ foi ajustada, onde A é uma constante de ajuste e P , a potenciação.

2.3 - Avaliação qualitativa da radiação térmica

A temperatura inicial do cubo de alumínio foi medida nas quatro faces. O cubo era colocado pelas lâmpadas a 10%, 30%, 50%, 70% e 100% da potência aguardando 10 minutos para que houvesse uma estabilização da irradiação.

Por fim, os dados foram colocados em um gráfico de dispersão com linhas para uma melhor visualização.

2.4 - Irradiâncias de uma fonte não pontual

Nesta etapa foi estudado o comportamento do desempenho da radiogênio em função da distância para uma face do cubo, ou seja, uma fonte não pontual. Espera-se que irradiâncias decresçam com o inverso do quadrado da distância para pontos mais longe da fonte onde este se comportaria como pontual.

Com o cubo aquecido pela potência máxima da lâmpada, as irradiâncias são determinadas variando a distância entre sensor e fonte com passos de 0,5 cm até 70 cm e com passos maiores até cerca de 100 cm. Os dados foram colocados em um gráfico e funções foram ajustadas para pontos próximos à fonte e pontos mais distantes.

2.5 - Lei de Stefan-Boltzmann para baixas temperaturas

Com o sensor próximo a uma das faces do cubo, foi observado o resfriamento na ferradura. Quando a queda de temperatura chegou a 1°C a cada 30 segundos, o ventilador foi empregado. O sensor foi posicionado na mesma face onde os termômetros estavam localizados.

2.6 - Irradiâncias do corpo humano

Para determinar as irradiâncias do corpo humano, en-

coloca-se o sensor na pele em diferentes pontos do corpo medindo em seguidas temperaturas àquela mesma parte. Matematicamente é necessário subtrair a temperatura do detector, pois pode interferir nas medições.

3-Análises e discussões

3.1-Lei de Stefan-Boltzmann

A Fig. 1 mostra os dados obtidos e a curva já ajustada.

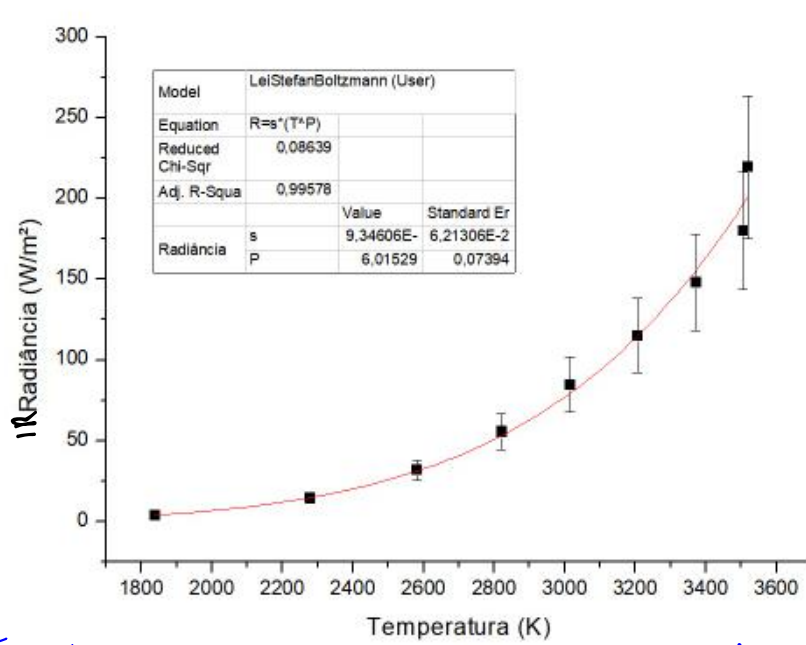


Fig 1 - Dados obtidos para estudo da Lei de Stefan-Boltzmann

Observa-se que, levando em consideração a incerteza de 20% nos dados, a potência obtida no ajuste foi $6,01 \pm 0,07$ sendo que o valor teórico é 4. Portanto o valor final obtido fica 6 ± 1 . Como não foram consideradas as incertezas na voltagem e na área do sensor, esse valor não fica tão aquém do esperado.

3.2-Lei do inverso do quadrado da distância

A Fig. 2 mostra os dados obtidos neste etapa bem

como a função ajustada sobre elas.

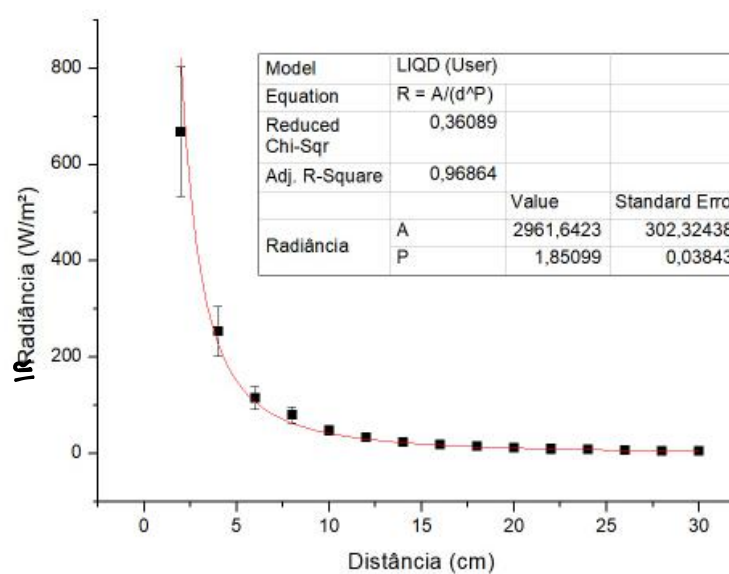


Fig 2 - Dados obtidos no estudo do decaimento da radiação com a distância

Para os dados do grupo a intensidade da radiação decaiu com a temperatura elevada a $P=1,85 \pm 0,04$. Tendo em vista as condições do experimento já descritas nas sessões anteriores, o valor obtido está dentro do esperado, $P=2$.

3.3 - Análise qualitativa da radiação térmica

O gráfico da irradiância em função da potência das lâmpadas está na Figura 3.

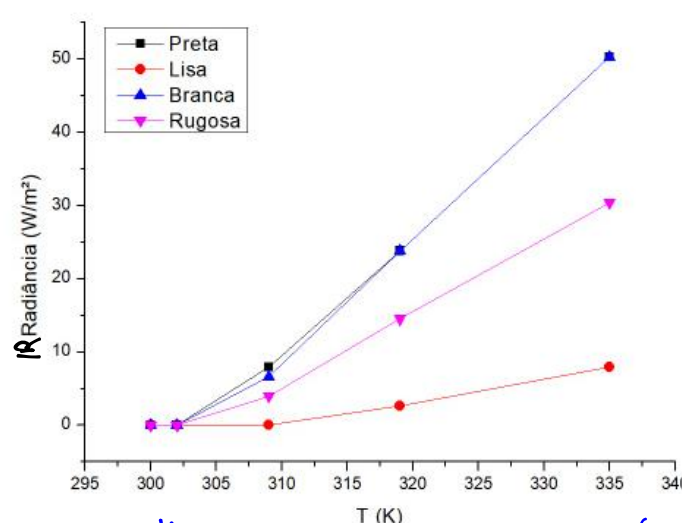


Fig 3 - Análise da radiação em função da temperatura para cada uma das paredes laterais do cubo

Através deste gráfico, pode-se facilmente notar que as paredes pretas e brancas têm um comportamento mais próximo do de um corpo negro, em seguida a parede rugosa e, por fim, a parede lisa. A parede lisa é a que

mas) se comporta como corpo negro devido à sua alta reflectividade.

3.4 - Irradiâncias de uma fonte não pontual

A Fig. 4 mostra o gráfico da irradiância em função da distância e os ajustes para duas diferentes regiões

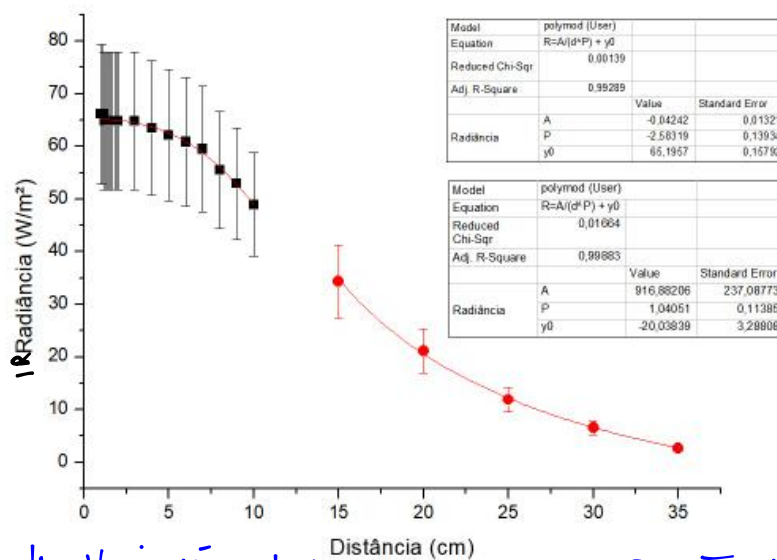


Fig. 4 - Variação da irradiância em função da distância para um corpo não pontual.

Próximo ao corpo a radiância decréce com uma função quadrática de concavidade para baixo. Um pouco mais distante da fonte, a uma distância da ordem de grandezas do tamanho do corpo, a radiância decréce mais que linearmente. Para distâncias maiores, espera-se que a radiância decréce com o quadrado da distância, pois a fonte não pontual se comportará como fonte pontual.

3.5 - Lei de Stefan-Boltzmann para Baixas Temperaturas

A Fig. 5 contém os dados da irradiância para baixas temperaturas. Observa-se que é possível se obter um bom ajuste linear aos dados.

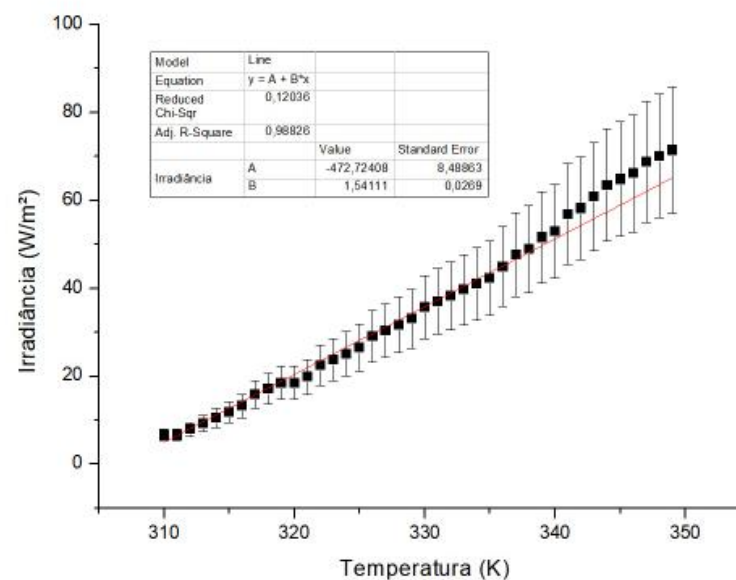


Fig 5- Variação de irradiância para baixas temperaturas

Não houve variação com a temperatura elevada a quarta potência porque provavelmente a temperatura do sensor varia com a temperatura do cubo.

3.6 - Radiação do corpo humano

A Tabela 2 mostra a irradiância para diferentes partes do corpo.

Tabela 2 – Irradiância para diferentes partes do corpo.

Indivíduo	Irradiância (W/m²)		
	A	B	C
Antebraço	5,3	4,0	2,6
Pescoço	6,6	5,3	5,3
Palma da mão	5,3	5,3	1,3

Os valores foram baixos porque os alunos foram instruídos a encostar o sensor na pele, fazendo com que entrassem em equilíbrio térmico. Isso é corroborado com o fato do aluno A obter valores maiores de irradiância enquanto o aluno C obteve valores menores. Provavelmente essa foi a ordem de medição.

4- Conclusões

Com o sensor foi possível estudar a LSB. Devido às incertezas, a irradiancia varia com a sexta potência da temperatura. Verificou-se também o decímento da radiação com o inverso do quadrado da distância. Um corpo extenso irradia como corpo pontual a longas distâncias. Para se estudar a irradiação em temperaturas próximas à ambiente é necessário tomar cuidado com a temperatura do sensor e sua proximidade com o corpo o qual se está fazendo a medição.

5 - Bibliografía

[1] EISBERG; "Física Cuántica". 1ed. 1979

[2] TIPER; "Modern Physics". 6 ed. 2012

[3] BEISER; "Concepts of Modern Physics". 6 ed. 2003